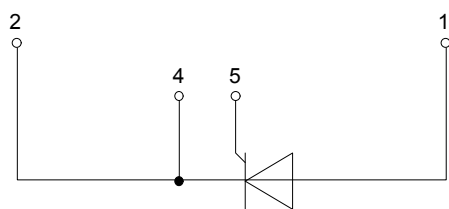
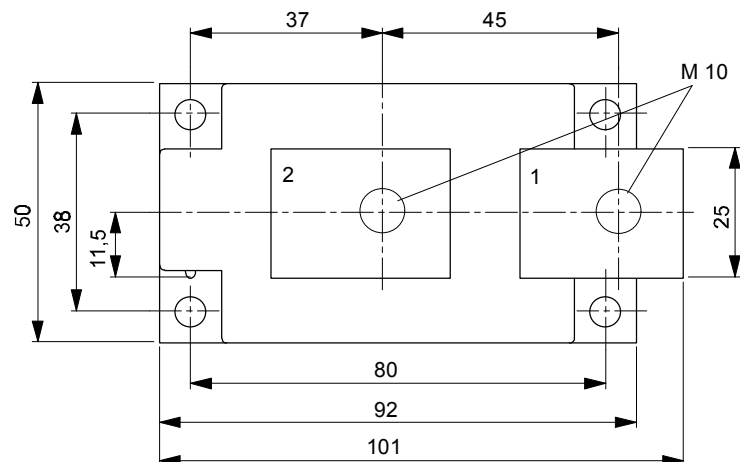
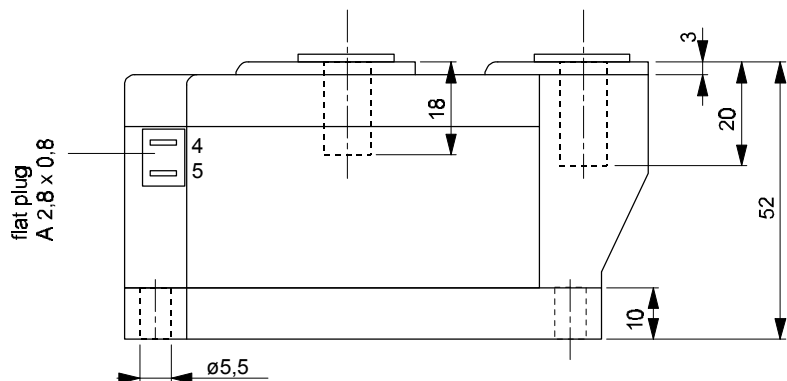


European Power-
Semiconductor and
Electronics Company
GmbH + Co. KG

Marketing Information TZ 310 N



TZ 310 N

Elektrische Eigenschaften	Electrical properties				
Höchstzulässige Werte	Maximum rated values				
Periodische Vorwärts- und Rückwärts-Spitzenperrspannung	repetitive peak forward off-state and reverse voltages	$t_{vj} = -40^\circ\text{C} \dots t_{vj \max}$	V_{DRM}, V_{RRM}	2000 2200 2400 2600	V
Vorwärts-Stoßspitzenperrspannung	non-repetitive peak forward off-state reverse voltage	$t_{vj} = -40^\circ\text{C} \dots t_{vj \max}$	V_{DSM}	2000 2200 2400 2600	V
Rückwärts-Stoßspitzenperrspannung	non-repetitive peak voltage	$t_{vj} = +25^\circ\text{C} \dots t_{vj \max}$	V_{RSM}	2100 2300 2500 2700	V
Durchlaßstrom-Grenzeffektivwert	RMS on-state current			I_{TRMSM}	700 A
Dauergrenzstrom	average on-state current	$t_c = 85^\circ\text{C}$	I_{TAVM}	310 A	
Stoßstrom-Grenzwert	surge current	$t_c = 58^\circ\text{C}$	I_{TSM}	445 kA	
Grenzlastintegral	$I^2 t$ -value	$t_{vj} = 25^\circ\text{C}, t_p = 10 \text{ ms}$ $t_{vj} = t_{vj \max}, t_p = 10 \text{ ms}$ $t_{vj} = 25^\circ\text{C}, t_p = 10 \text{ ms}$ $t_{vj} = t_{vj \max}, t_p = 10 \text{ ms}$	$I^2 t$	$405 \cdot 10^3 \text{ A}^2\text{s}$ $320 \cdot 10^3 \text{ A}^2\text{s}$	A
Kritische Stromsteilheit	critical rate of rise of on-state current	DIN IEC 747-6	$(di_T/dt)_{cr}$	120 A/ μ s	
Kritische Spannungssteilheit	critical rate of rise of off-state voltage	$f = 50 \text{ Hz}, I_{GM} = 1 \text{ A}, di_G = 1 \text{ A}/\mu\text{s}$ $t_{vj} = t_{vj \max}, V_D = 0,67 V_{DRM}$	$(dv_D/dt)_{cr}$	500 V/ μ s	
		6.Kennbuchstabe/6th letter C		1000 V/ μ s	
		6.Kennbuchstabe/6th letter F			
Charakteristische Werte	Characteristic values				
Durchlaßspannung	on-state voltage	$t_{vj} = t_{vj \max}, i_T = 1,3 \text{ kA}$	V_T	max. 2,22	V
Schleusenspannung	threshold voltage	$t_{vj} = t_{vj \max}$	$V_{T(TO)}$	1	V
Ersatzwiderstand	slope resistance	$t_{vj} = t_{vj \max}$	r_T	0,86 m Ω	
Zündstrom	gate trigger current	$t_{vj} = 25^\circ\text{C}, V_D = 6 \text{ V}$	I_{GT}	max. 250 mA	
Zündspannung	gate trigger voltage	$t_{vj} = 25^\circ\text{C}, V_D = 6 \text{ V}$	V_{GT}	max.1,5 V	
Nicht zündender Steuerstrom	gate non-trigger current	$t_{vj} = t_{vj \max}, V_D = 6 \text{ V}$	I_{GD}	max.10 mA	
		$t_{vj} = t_{vj \max}, V_D = 0,5 V_{DRM}$		max. 5 mA	
Nicht zündende Steuerspannung	gate non-trigger voltage	$t_{vj} = t_{vj \max}, V_D = 0,5 V_{DRM}$	V_{GD}	max.0,2 V	
Haltestrom	holding current	$t_{vj} = 25^\circ\text{C}, V_D = 6 \text{ V}, R_A = 5 \Omega$	I_H	max. 300 mA	
Einraststrom	latching current	$t_{vj} = 25^\circ\text{C}, V_D = 6 \text{ V}, R_{GK} > = 10 \Omega$	I_L	max.1500 mA	
Vorwärts- und Rückwärts-Sperrstrom	forward off-state and reverse currents	$i_{GM} = 1 \text{ A}, di_G/dt = 1 \text{ A}/\mu\text{s}, t_g = 20 \text{ } \mu\text{s}$ $t_{vj} = t_{vj \max}$	i_D, i_R	max. 80 mA	
Zündverzug	gate controlled delay time	$v_D = V_{DRM}, v_R = V_{RRM}$ DIN IEC 747-6, $t_{vj} = 25^\circ\text{C}$ $i_{GM} = 1 \text{ A}, di_G/dt = 1 \text{ A}/\mu\text{s}$	t_{gd}	max.3,3 μ s	
Freiwerdezeit	circuit commutated turn-off time	$t_{vj} = t_{vj \max}, i_{TM} = I_{TAVM}$ $V_{RM} = 100 \text{ V}, V_{DM} = 0,67 V_{DRM}$ $dv_D/dt = 20 \text{ V}/\mu\text{s}, -di_G/dt = 10 \text{ A}/\mu\text{s}$	t_q	typ.300 μ s	
Isolations-Prüfspannung	insulation test voltage	RMS, $f = 50 \text{ Hz}, t = 1 \text{ min}$	V_{ISOL}	3 kV	
Thermische Eigenschaften	Thermal properties				
Innerer Wärmewiderstand	thermal resistance, junction to case	pro Modul/per module, Θ_{J-CASE}	R_{thJC}	max.0,0780 °C/W	
Übergangs-Wärmewiderstand	thermal resistance, case to heatsink	pro Modul/per module, DC		max.0,0745 °C/W	
Höchstzul. Sperrsichttemperatur	max. junction temperature				
Betriebstemperatur	operating temperature	$t_{vj \max}$	R_{thCK}	max. 0,02 °C/W	
Lagertemperatur	storage temperature	t_c_{op}		125 °C	
		t_{stg}		-40...+125 °C	
Mechanische Eigenschaften	Mechanical properties				
Gehäuse, siehe Seite	case, see page				1
Si-Element mit Druckkontakt	Si-pellet with pressure contact				
Innere Isolation	internal insulation				A1N
Anzugsdrehmoment für mechanische Befestigung	mounting torque	Toleranz/tolerance +/- 15%	M1	6 Nm	
Anzugsdrehmoment für elektrische Anschlüsse	terminal connection torque	Toleranz/tolerance +5%/-10%	M2	12 Nm	
Gewicht	weight		G	typ.900 g	
Kriechstrecke	creepage distance			15 mm	
Schwingfestigkeit	vibration resistance	$f = 50 \text{ Hz}$		50 m/s ²	

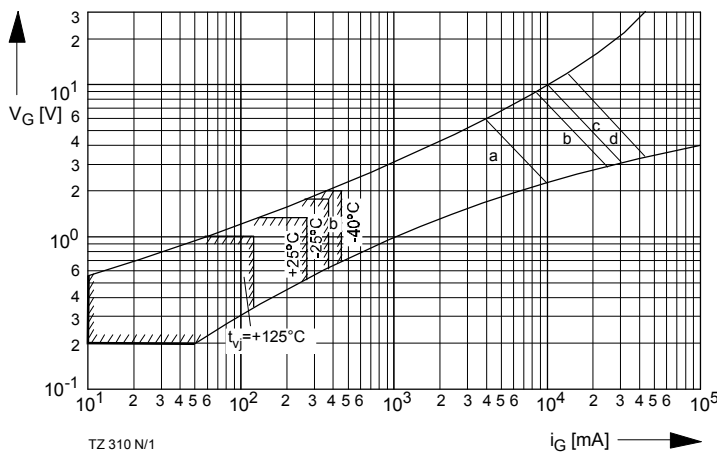


Bild / Fig. 1

Steuercharakteristik mit Zündbereichen / Gate characteristic with triggering areas, $V_G = f(i_G)$, $V_D = 6 \text{ V}$

Parameter: a b c d

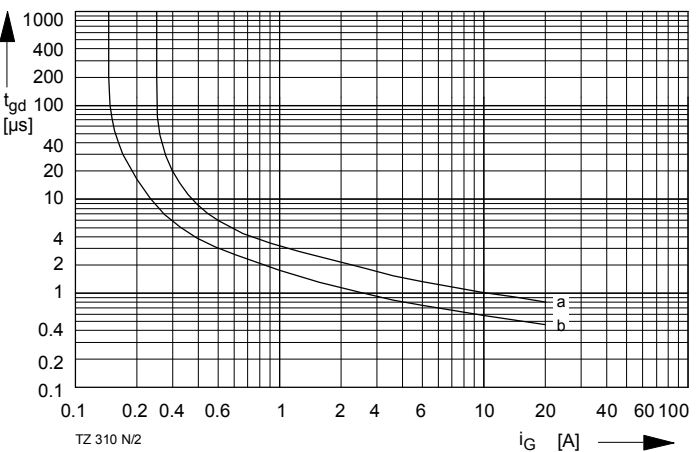
Steuerimpulsdauer / Pulse duration t_q [ms] 10 1 0,5 0,1Höchstzulässige Spitzensteuerleistung/
Maximum allowable peak gate power [W] 40 80 100 150

Bild / Fig. 2

Zündverzug / Gate controlled delay time $t_{gd} = f(i_G)$ $t_{vj} = 25^\circ\text{C}$, $\frac{di_G}{dt} = i_{GM}/1\mu\text{s}$

a - äußerster Verlauf / limiting characteristic

b - typischer Verlauf / typical characteristic

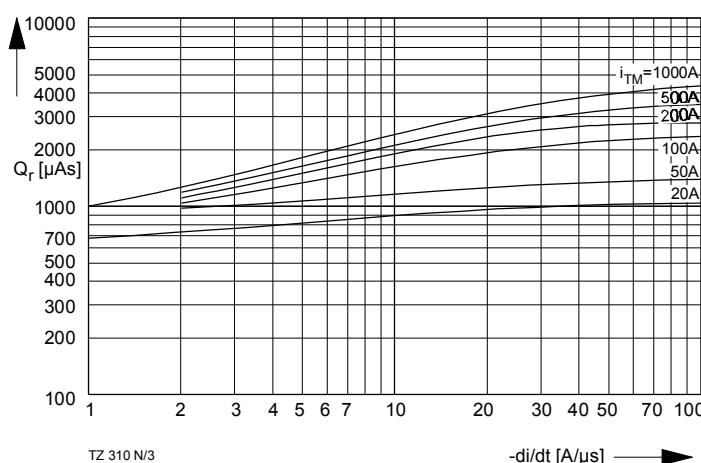


Bild / Fig. 3

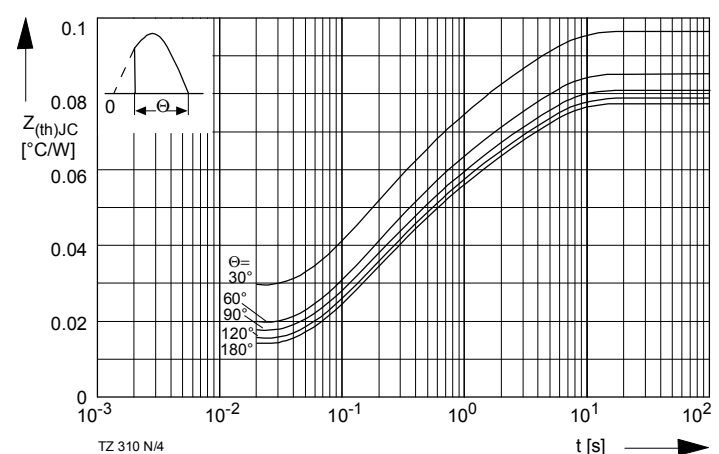
Sperrverzögerungsladung / Recovery charge $Q_r = f(-di/dt)$ $t_{vj} = t_{vjmax}$, $V_R \leq 0,5 \text{ V}_{RRM}$, $V_{RM} = 0,8 \text{ V}_{RRM}$ Parameter: Durchlaßstrom / On-state current i_{TM} 

Bild / Fig. 4

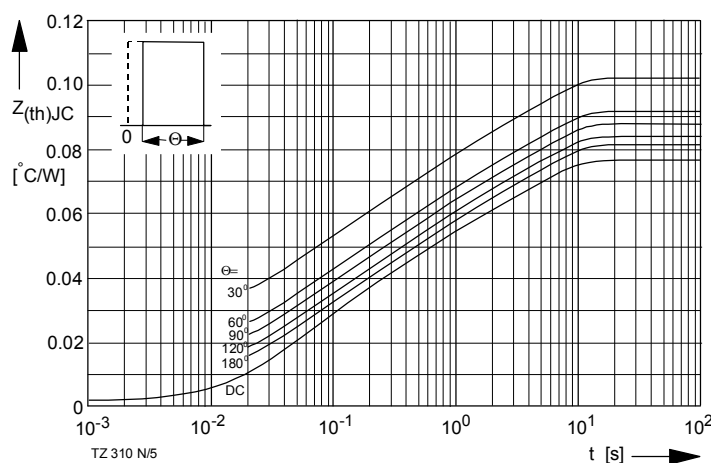
Transienter innerer Wärmewiderstand je Zweig / Transient thermal impedance per arm $Z_{(th)JC} = f(t)$ 

Bild / Fig. 5

Transienter innerer Wärmewiderstand je Zweig / Transient thermal impedance per arm $Z_{(th)JC} = f(t)$ Analytische Elemente des transienten Wärmewiderstandes Z_{thJC} pro Zweig für DC
Analytical elements of transient thermal impedance Z_{thJC} per arm for DC

Pos. n	1	2	3	4	5	6	7
R_{thn} [°C/W]	0,00194	0,00584	0,1465	0,0254	0,0267		
τ_n [s]	0,000732	0,00824	0,108	0,57	3		

Analytische Funktion / Analytical function:

$$Z_{thJC} = \sum_{n=1}^{n_{\max}} R_{thn} (1 - e^{-\frac{t}{\tau_n}})$$